

# I-203 接れ波動の伝播について

九州大学 正員 小坪 清真  
学生員 〇鳥野 清

## (1) まえがき

一般に、曲げのみをうける構架の各支点が受けた地震波をうける時の応答は、従来、各次数のモードを重ね合わせて求められる modal analysis の適用が確証されている。しかし、吊橋や高橋脚のようにケーブルの変形とか、橋脚の接れとかといった現象が曲げと共に存して起こり、その影響が無視出来ない複合構造物に対しても、この modal analysis が適用できることは問題がある。そこで、著者等は吊橋の各支点が震動直角方向に受けた地震波をうける場合の応答解析に modal analysis が適用できることを模型実験を行ったが、計算値と実験値にひらきがあった。その原因は、軸内の曲げ波動速度とケーブル内の波動速度が異なることにによるものであろうと考えられた。

そこで、弦の振動の微分方程式と接れのそれが同一であることから、単に接れだけ生じる模型に対して実験を行い、(1)慣性モーメントが断面一様に分布しているものとして modal analysis で、(2)24個の多負荷系に分割する方法、(3)波動論による方法、の3通りで応答計算を行つてその結果を比較してみた。

## (2) 実験とその概要

材料として接れ棒に鋼棒( $\phi=10\text{mm}$ )を使用し、 $10\text{cm}$ 間隔に1個の割合いで接れを生じやすくするために、直径 $10\text{cm}$ 、厚さ $1\text{cm}$ の鉄の円盤をはめ込んだ。支点Aは固定し、支点Bはバアリングで回転できるようにして、外乱角加速度を与えるようにした。外乱角加速度は図-1のようになり、最下端の円盤( $\phi=16\text{cm}$ )の上に右左2個の歪式加速度計を張り付けた平均値から求めた。ゲージはX印の位置に $90^\circ$ 交叉した2枚ゲージを張った。

記録は、一端支点Bに角加速度を与えてその応答ひずみを strain Meter から Photo Corder に記録した。

## (3) 理論計算

$$\psi \text{を接れ角}, \theta \text{を断面の回転角} \text{とすると} \quad \psi = \frac{d\theta}{dx}$$

接れ角は接れモーメント( $T$ )に比例し、せん断弹性係数( $G$ )に反比例するから、 $\lambda$ をねじり定数とすると  $\psi = T/\lambda G$

接れ振動の場合、 $I_o$ を断面の重心に関する2次モーメント、 $w$ を単位体積重量とすると、  $\frac{w}{g} I_o \frac{d^2\theta}{dt^2} = \frac{dT}{dx}$  (1)

結局(1)式は

$$\frac{\partial^2\theta}{\partial t^2} - C_t^2 \frac{\partial^2\theta}{\partial x^2} = 0 \quad (2)$$

$$C_t = \sqrt{\frac{\rho G g}{w I_o}}$$

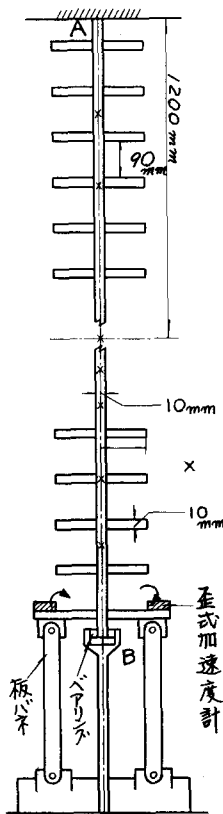


図1 模型概略

(2) 式に  $\Theta = \Theta(x) (C_1 \sin nt + C_2 \cos nt)$  とおき境界条件  $x=0, x=l$  で  $\Theta=0$  を解くと

$$\Theta = \sum_{s=1}^{\infty} A_s \sin \frac{s\pi}{l} C_s x \quad (3)$$

### (i) Modal analysis

半径  $r_c$  がる円形断面の場合、 $I_p = \pi r_c^4/2$ ,  $I_o = \pi r^4/2$  となるから、鋼棒の半径、単位体積重量を  $r_c, w_c$ 、又鉄の円盤半径、単位体積重量を  $r_s, w_s$  とすれば、円盤の  $wI_o$  が鋼棒だけの部分にも等分布していると仮定すると、 $wI_o$  と  $C_s$  は次のようになる。

$$wI_o = \frac{w_c}{2} \pi r_c^4 + \frac{w_s}{2} \pi r_s^4, \quad C_s = \sqrt{\frac{KGg}{wI_o}} = \sqrt{\frac{10Gg w_s^4}{10w_c r_c^4 + w_s r_s^4}}$$

$q_t$  を一般座標、 $S$  次の振動型、固有円振動数、減衰定数を  $\Theta_s, n_s, h_s$  とすと運動エネルギー  $K$  およびエネルギー  $V$ 、散逸関数  $F$  は次式で表わせる。

$$K = \frac{wI_o}{2g} \sum_{s=1}^m \dot{\theta}_s^2 \int_0^l \Theta_s^2(x) dx, \quad V = \frac{wI_o}{2g} \sum_{s=1}^m n_s^2 \dot{\theta}_s^2 \int_0^l \Theta_s^2(x) dx, \quad F = \frac{wI_o}{2g} \sum_{s=1}^m 2h_s n_s \dot{\theta}_s^2 \int_0^l \Theta_s^2(x) dx$$

又、一端支承  $A$  が 1 度だけ変位した時の静的弾性変形曲線を  $f(x)$  とすと、一般力  $Q_s$  は次式となる。

$$Q_s = -\frac{wI_o}{g} \ddot{\phi} \left\{ \int_0^l f(x) \Theta_s(x) dx \right\}$$

これを Lagrange の方程式に代入すると

$$\ddot{\theta}_s + 2h_s n_s \dot{\theta}_s + n_s^2 \theta_s = -\beta_s \ddot{\phi} \quad \beta_s = \frac{\int_0^l f(x) \Theta_s(x) dx}{\int_0^l \Theta_s^2(x) dx} \quad \ddot{\phi} = \frac{\ddot{\phi}_1 + \ddot{\phi}_2}{2r_o}$$

次にひずみ  $\epsilon$  は

$$\epsilon = \frac{r}{2} \cdot \frac{d\theta}{dx}$$

(但し、 $r_o$ ; 加速度計の載った円盤半径)

### (ii) 多質点系に分割する方法

系を  $i$  個に分けそのつり合方程式は stiffness matrix を使うと

$$\frac{wI}{g} \begin{bmatrix} \ddot{\theta}_1 \\ \vdots \\ \ddot{\theta}_i \\ \vdots \\ \ddot{\theta}_k \end{bmatrix} + \begin{bmatrix} C_{11} & \cdots & C_{1i} \\ \vdots & \ddots & \vdots \\ C_{i1} & \cdots & C_{ii} \end{bmatrix} \begin{bmatrix} \dot{\theta}_1 \\ \vdots \\ \dot{\theta}_i \\ \vdots \\ \dot{\theta}_k \end{bmatrix} + \begin{bmatrix} k_{11} & \cdots & k_{1i} \\ \vdots & \ddots & \vdots \\ k_{i1} & \cdots & k_{ii} \end{bmatrix} \begin{bmatrix} \theta_1 \\ \vdots \\ \theta_i \\ \vdots \\ \theta_k \end{bmatrix} = -\frac{wI}{g} \ddot{\phi} \begin{bmatrix} 1 \\ \vdots \\ \frac{l-a_i}{2} \end{bmatrix}$$

$C_{ij}$  は減衰係数、 $k_{ij}$  はバネ定数

### (iii) 波動論による方法

方程式 (2) を次の境界条件のもとで解けばよい。

$$t < 0 : \quad \theta = 0 \quad \frac{d\theta}{dt} = 0$$

$$t > 0 ; \quad x = 0 \quad \dot{\theta} = 1, \quad x = l \quad \theta = 0$$

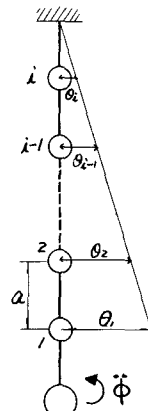


図-2

以上の結果は当日前提の予定である。